

Вестник МОСКОВСКОГО УНИВЕРСИТЕТА

№ 3 — 1971

УДК 539.196.2

А. П. КАЛИНИН, В. Б. ЛЕОНАС, А. В. СЕРМЯГИН

О РАЗРЕШАЮЩЕЙ СПОСОБНОСТИ ПРИ ИЗМЕРЕНИИ ПОЛНЫХ И ДИФФЕРЕНЦИАЛЬНЫХ СЕЧЕНИЙ РАССЕЯНИЯ С ПОМОЩЬЮ АТОМНЫХ ПУЧКОВ

В работе рассмотрен вопрос о разрешающей способности при измерениях сечений при использовании атомных и молекулярных пучков конечной геометрии. Проведены расчеты и представлены результаты вычислений аппаратной функции $f(\theta)$, позволяющей удобно интерпретировать измерения полных и дифференциальных сечений рассеяния.

Изучение рассеяния пучков (атомов, молекул и ионов) на газовых мишенях занимает в атомной физике особое место, поскольку в большинстве случаев является единственным источником сведений о силах взаимодействия и процессах, сопровождающих столкновения частиц. При этом измеряется обычно либо ослабление пучка, прошедшего слой рассеивающего газа, либо угловое распределение рассеянных частиц.

При изучении упругих и неупругих столкновений в эв-диапазоне удобнее всего использовать пучки относительно высоких энергий 10^2 — 10^3 эв. Однако в этом случае углы отклонения оказываются порядка 10^2 — 10^{-3} радиана и меньше. В этих условиях улучшение углового разрешения детектора будет неизбежно связано с весьма большой потерей интенсивности регистрируемого пучка. Этот путь неудобен, однако выход можно найти, если удастся правильно учитывать вклады потоков частиц, рассеянных на любые углы в пределах детектора.

Угловое распределение рассеянных частиц описывается с помощью дифференциального сечения рассеяния $\sigma(\theta)$, определяемого из условия, что число частиц $I(\theta)$, рассеянных в пределах угла между θ и $\theta+d\theta$, равно $2\pi I_0 \sigma(\theta) \sin \theta n dx d\theta$, где I_0 — число частиц нерассеянного пучка, n — плотность рассеивающего газа, dx — длина пути рассеяния; ослабление пучка, прошедшего слой рассеивающего газа, из-за ухода частиц на все углы, большие θ_0 , определяется полным эффективным сечением

$$Q(\theta_0) = 2\pi \int_{\theta_0}^{\pi/2} \sigma(\theta) \sin \theta d\theta \text{ и равно } \Delta I = I_0 (1 - e^{-nQ(\theta_0) dx}).$$

В реальных условиях вследствие конечных размеров пучка, неоднородности его плотности по сечению, расходимости, а также конечных размеров детектора и толщины рассеивающего слоя возникает

проблема перехода от измеренных зависимостей к истинным сечениям. Анализ и способ учета погрешностей, возникающих при вычислении дифференциальных сечений из измеренных угловых распределений рассеянных частиц, проведен в работе [1]. Автор приводит приближенные формулы (для расчета среднего телесного угла, соответствующего данному положению детектора, и среднего угла, которому следует приписать рассчитанное сечение), использующие экспериментальное угловое распределение. Однако в этой работе не учитывается высота щели детектора, влияние которой при малых углах рассеяния существенно больше влияния ширины [2].

Другой подход при анализе измерений сечений рассеяния использован Амдуром и сотрудниками в работах [3] и [4]. Здесь с измеряемыми величинами сопоставляются сечения, усредненные по пути рассеяния и распределению интенсивности частиц в пучке. Такие расчеты для случая «круглой» геометрии описаны в работе [3], для «прямоугольной» — в работе [5]. Однако все вычисления ограничены наиболее простым случаем обратностепенного потенциала. Общим для всех упомянутых выше работ является нахождение среднего угла отклонения и среднего телесного угла, с помощью которых и интерпретировались эксперименты. Более адекватным представляется подход, дающий априорную эффективность регистрации рассеяния на различные углы. Эту эффективность удобно характеризовать введенной Кушем [6] функцией $\eta(\theta, l)$, определяющей вероятность того, что частица, рассеянная на расстоянии l от детектора на угол θ , будет зарегистрирована последним.

Функцию $\eta(\theta, l)$ можно определить как отношение числа частиц зарегистрированных детектором в случае, если все частицы пучка отклонились на угол θ , к числу частиц регистрируемых детектором до рассеяния.

Рассмотрим последовательно применения функции $\eta(\theta, l)$ для случаев измерения полного и дифференциального сечений рассеяния.

В работе [7] приводится выражение, позволяющее вычислить $\eta(\theta, l)$ для «прямоугольной» геометрии. В обозначениях этой работы (S_d — площадь детектора, $i(x, y)$ — распределение интенсивности нерассеянного пучка в плоскости детектора, ψ — азимутальный угол) $\eta(\theta, l)$ представляется следующим образом

$$\eta(\theta, l) = \frac{\int_{\psi} \int_{S_d} i(x - l \cos \psi, y - l \sin \psi) dx dy d\psi}{\int_{\psi} \int_{S_d} i(x, y) dx dy d\psi} \quad (1)$$

В случае «круглой» геометрии удобно пользоваться полярными координатами и тогда

$$\eta(\theta, l) = \frac{\int_0^{2\pi} \int_0^{r_d} i(V \sqrt{r^2 + (l\theta)^2 - 2rl \cos \psi}) r dr d\psi}{\int_0^{2\pi} \int_0^{r_d} i(r) r dr d\psi} \quad (2)$$

где r_d — радиус детектора.

Диапазон углов, дающих вклад в величину $\eta(\theta, l)$, определяется размерами детектора и его положением относительно оси пучка. Если детектор находится на оси пучка, углы заключены в интервале от 0 до θ_{\max} , когда частица еще может быть зарегистрирована. При измерении

угловых распределений минимальный и максимальный углы рассеяния зависят от положения детектора α , а функцию удобнее обозначить $\eta_\alpha(\theta, l)$ в отличие от $\eta_0(\theta, l)$ для предыдущего случая.

Найдем связь измеренных ослабления и тока рассеянных частиц с начальной интенсивностью I_0 и функцией $\eta(\theta, l)$ ¹. Будем считать при этом плотность мишени постоянной и равной n , а интенсивность ослабленного в мишени пучка на рассеянии l от детектора равной $I_0 A(l)$. Из определения $\eta(\theta, l)$ ясно, что разность $1 - \eta(\theta, l)$ соответствует вероятности ухода из детектора рассеянной частицы. Таким образом, число частиц, отклонившихся на угол θ с расстояния l при прохождении слоя рассеивающего газа dl и ушедших из детектора, равно

$$dI(\theta, l) = 2\pi l_0 n A(l) \sigma(\theta) \sin \theta [1 - \eta(\theta, l)] d\theta dl. \quad (3)$$

Проинтегрировав $dI(\theta, l)$ по длине рассеяния $2\Delta l$ и углам от 0 до $\pi/2$ (в случае равных масс), получим величину измеренного детектором ослабления ΔI

$$\Delta I = 2\pi n I_0 \int_0^{\pi/2} \sigma(\theta) \sin \theta d\theta \int_{l_0 + \Delta l}^{l_0 - \Delta l} A(l) [1 - \eta_0(\theta, l)] dl. \quad (4)$$

Ток, который регистрирует детектор, отклоненный от оси пучка на угол α , получается простой заменой $[1 - \eta_0(\theta, l)]$ на соответствующую этому положению детектора функцию $\eta_\alpha(\theta, l)$:

$$I(\alpha) = 2\pi l_0 n \int_0^{\pi/2} \sigma(\theta) \sin \theta d\theta \int_{l_0 + \Delta l}^{l_0 - \Delta l} A(l) \eta_\alpha(\theta, l) dl, \quad (5)$$

где пределы интегрирования по θ могут быть оставлены прежними, так как вне углов, охватываемых детектором, $\eta(\theta, l) \equiv 0$.

Обозначим

$$f(\theta) = \frac{\int_{l_0 + \Delta l}^{l_0 - \Delta l} A(l) \eta(\theta, l) dl}{\int_{l_0 + \Delta l}^{l_0 - \Delta l} A(l) dl}. \quad (6)$$

Функция $f(\theta)$ определяется только геометрией установки и характеристиками пучка, поэтому может быть названа аппаратной функцией. С учетом (6) соотношения (4) и (5) можно переписать в виде

$$\Delta I = 2\pi n I_0 \int_{l_0 + \Delta l}^{l_0 - \Delta l} A(l) dl \int_0^{\pi/2} \sigma(\theta) [1 - f_0(\theta)] \sin \theta d\theta, \quad (7)$$

$$I(\alpha) = 2\pi n I_0 \int_{l_0 + \Delta l}^{l_0 - \Delta l} A(l) dl \int_0^{\pi/2} \sigma(\theta) f_\alpha(\theta) \sin \theta d\theta. \quad (8)$$

При слабых поглощениях $\sim 10\%$ $A(l)$, тождественно равную единице при $l = l_0 + \Delta l$ и равную k при $l = l_0 - \Delta l$, можно считать линейной функцией l

¹ При площади изображения нерассеянного пучка в плоскости детектора, большей площади детектора, ηl_0 следует заменить на $\eta l_0 / F$, где F определяется выражением (12).

$$A(l) = \frac{1-k}{2\Delta l} l + \frac{(1+k)\Delta l - (1-k)l_0}{2\Delta l}$$

тогда

$$\int_{l_0+\Delta l}^{l_0-\Delta l} A(l) dl = (1+k)\Delta l \quad (9)$$

Окончательно связь измеренного сечения и величин токов рассеянных частиц с аппаратной функцией и начальной интенсивностью принимает следующий вид:

$$Q_{\text{изм}} = \frac{\Delta I}{(1+k)nl_0\Delta l} = 2\pi \int_0^{\pi/2} \sigma(\theta) [1 - f_0(\theta)] \sin \theta d\theta, \quad (10)$$

$$I(\alpha) = 2\pi(1+k)nl_0\Delta l \int_0^{\pi/2} \sigma(\theta) f_\alpha(\theta) \sin \theta d\theta. \quad (11)$$

Соотношение (10) при известной $f(\theta)$ более удобно для решения обратной задачи извлечения параметров потенциала из измеренных зависимостей $\Delta I(E)$, чем использовавшийся в [3], [5] метод, и свободно от ограничения случаем обратностепенного потенциала.

Соотношение (11) позволяет по измеренным угловым распределениям непосредственно восстановить истинное дифференциальное сечение, не задаваясь априори его видом. С другой стороны, использование соотношений (10) и (11) открывает возможность экспериментальной проверки (путем сравнения измеренных и рассчитанных значений) теоретически вычисленных потенциалов любой сложной формы.

Функции $f_0(\theta)$ и $f_\alpha(\theta)$ вычислялись на ЭВМ (БЭСМ-4) с помощью метода Монте-Карло для «круглой» и «прямоугольной» геометрии и различных соотношений полуширин детектора b_d и пучка b_p , расстояний l_0 и Δl , для различных форм пучка (трапециедального, прямоугольного и треугольного), а также для различных поглощений k . При расчетах аппаратной функции $f_0(\theta)$ по формуле (6) статистическая ошибка не превышала 1% при малых углах ($\theta < 5 \cdot 10^{-3}$ рад) и 2—3% для больших углов ($\theta > 5 \cdot 10^{-3}$ рад). Пользуясь безразмерным параметром

$\rho = \frac{l_0\theta}{2b_d F}$, введенным в [7], где

$$F = \frac{\int_{l_0+\Delta l}^{l_0-\Delta l} \int_0^{2\pi} \iint_{S_{\text{II}}} i(x, y) A(l) dx dy d\psi dl}{\int_{l_0+\Delta l}^{l_0-\Delta l} \int_0^{2\pi} \iint_{S_d} i(x, y) A(l) dx dy d\psi dl} \quad (12)$$

(S_{II} — площадь изображения нерассеянного пучка в плоскости детектора), можно для различных геометрических условий описать $f_0(\theta)$ универсальной зависимостью. Результаты вычислений приведены на рис. 1. Как видно из рис. 1, а, аппаратная функция хорошо описывается формулой $\exp\{-1,232\rho^2\}$ при $\rho < 0,9$ только для треугольного и близкого к нему трапециедального распределений интенсивности при ширине детектора, равной ширине изображения пучка в плоскости детектора. Вычисления показали также, что в пределах использованной для вычисления точно-

сти функция $f_0(\theta)$ не зависит от величины k до значения 0,7. Аппаратная функция $f_0(\theta)$ для «круглой» геометрии при $\rho < 0,6$ хорошо описывается

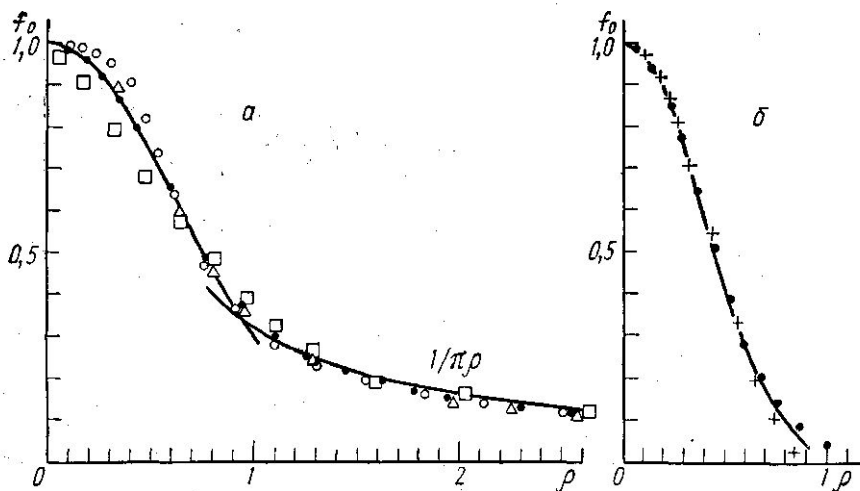


Рис. 1. *a* — аппаратная функция $f_0(\theta)$ для прямоугольной геометрии пучка и детектора: \triangle — треугольное распределение интенсивности и \square — прямоугольное распределение интенсивности при $b_{\text{д}}/b_{\text{п}}=1$, \bullet и \circ — трапециевидальное распределение интенсивности при отношении оснований, равном 5 и $b_{\text{д}}/b_{\text{п}}$ равном 1 и 1,4 соответственно (высота пучка $h_{\text{п}}$ равна высоте детектора $h_{\text{д}}$, $h_{\text{п}}/b_{\text{п}}=40$ и $l_0/\Delta l=17$); *b* — аппаратная функция $f_0(\theta)$ для круглой геометрии пучка и детектора: \bullet — $r_{\text{д}}/r_{\text{п}}=1$, $l_0/\Delta l=17$, $l_0/r_{\text{д}}=800$, $r_{\text{д}}/r_{\text{п}}=1$, $l_0/\Delta l=2,2$, $l_0/r_{\text{д}}=55$ (трапециевидальное распределение интенсивности при отношении оснований, равном 5).

формулой $\exp\{-3,66\rho^2\}$. Вид $f_{\alpha}(\theta)$ для «прямоугольной» геометрии при-

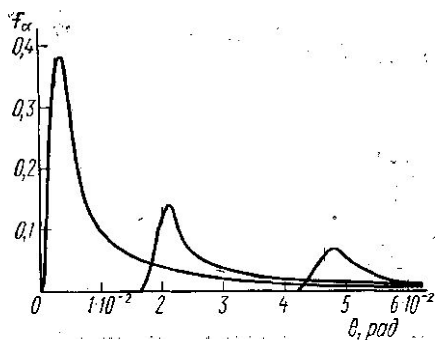


Рис. 2. Аппаратная функция $f_{\alpha}(\theta)$ для прямоугольной геометрии пучка и детектора при параметрах пучка и детектора, соответствующих пустым кружкам рис. 1, *a* (черточками обозначены положения детектора).

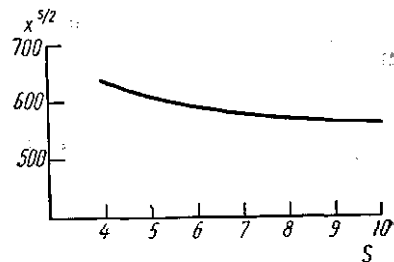


Рис. 3. Зависимость величины $X^{s/2}$ от s (формула (13)), параметры пучка и детектора соответствуют заштрихованным кружкам (рис. 1, *a*).

веден на рис. 2. Функции вычислялись по формуле (6). Ошибка при вычислении $f_{\alpha}(\theta)$ не превосходила 1% для значений вблизи максимумов и увеличивалась до 7% в области, далекой от максимума. Ухудшение точности обусловлено ограничением потребного машинного времени, кото-

рое пропорционально точности и обратно пропорционально амплитуде $f_\alpha(\theta)$.

В отличие от случая соосного с пучком детектора не удается подобрать простой универсальной зависимости для $f_\alpha(\theta)$. Однако для практического применения $f_\alpha(\theta)$ была описана графически для 10 точек, отражающих изменение значений функции $f_\alpha(\theta)$.

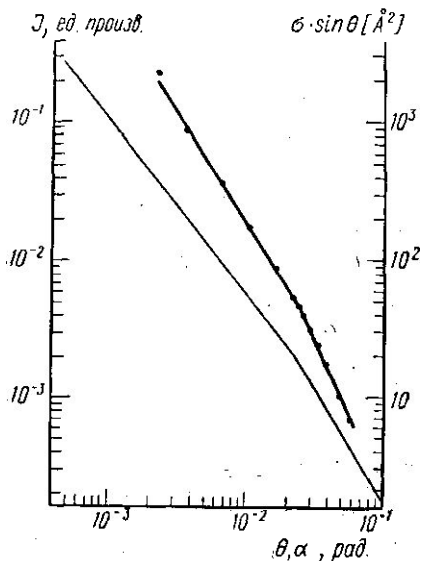


Рис. 4. Измеренные (сплошная линия) и вычисленные (точки) по формуле (11) угловые распределения рассеянных частиц (тонкой линией изображено восстановленное дифференциальное сечение $\sigma(\theta)\sin\theta$)

Для иллюстрации практического применения аппаратных функций $f_0(\theta)$ и $f_\alpha(\theta)$ рассмотрим последовательно способ определения параметров потенциала $V=K/r^s(a)$ и способ обработки измерений угловых распределений рассеянных частиц (б).

а. В случае потенциала вида $V=K/r^s$ зависимость $\lg Q_{\text{изм}}$ от $\lg E$ будет прямой линией с наклоном $-2/s$ [4]. Для нахождения второго параметра K разобьем интеграл (10) на две части от нуля до максимального в пределах етекто угла отклонения $\theta_{\text{max}} \sim 10^{-1}$ и от θ_{max} до $\pi/2$. Тогда получим для K выражение

$$K = \frac{E}{c(s)} \left[\frac{Q_{\text{изм}}(E)}{2\pi X} \right]^{s/2},$$

где

$$X = \left\{ \frac{1}{s} \int_0^{\theta_{\text{max}}} \theta^{-1-2/s} [1 - f_0(\theta)] d\theta + \frac{1}{2} \theta_{\text{max}}^{-2/s} \right\}$$

и

$$c(s) = \sqrt{\pi} \frac{\Gamma\left(\frac{s+1}{2}\right)}{\Gamma\left(\frac{s}{2}\right)}.$$

Величина X , необходимая для определения K , была вычислена как функция s для случая «прямоугольной» геометрии (см. рис. 3). Как видно из рисунка, $X^{s/2}$ слабо зависит от s и поэтому K определяется достаточно хорошо даже при некотором изменении s в исследуемом интервале расстояний сближения.

б. При обработке измерений угловых распределений рассеянных частиц с использованием $f_\alpha(\theta)$ необходимо подобрать тем или иным способом $\sigma(\theta)$, обеспечивающую воспроизведение измеренной зависимости $I(\alpha)$. Измеренный ток $I(\alpha)$ связан с $\sigma(\theta)$ выражением (11) и может вычисляться с пробными функциями $\sigma_{\text{пр}}(\theta)$ с точностью, которая обусловлена только разбросом экспериментальных значений. Восстановленное таким образом дифференциальное сечение для системы N_2-N_2 при-

ведено на рис. 4, там же для сравнения приведены экспериментальная и рассчитанная по восстановленному сечению зависимость $I(\alpha)$.

Авторы выражают глубокую благодарность Ю. Г. Маламе и Б. В. Куксенко за помощь в составлении расчетных программ.

ЛИТЕРАТУРА

1. Филлипенко Л. Г. ЖТФ, **30**, 57, 1960.
2. Lorents D. C., Aberth W. Phys. Rev., **139**, 1017, 1965.
3. Amdur I., Harkness A. L. J. Chem. Phys., **22**, 664, 1954.
4. Сб. «Исследования с молекулярными пучками». М., «Мир», 1969.
5. Камнев А. Б. «Вестн. Моск. ун-та», физ., астрон., № 3, 1966.
6. Kusch P. J. Chem. Phys., **40**, 1, 1964.
7. Busch F. Phys., **193**, 412, 1966.
8. Ландау Л. Д., Лифшиц Е. М. Механика. М., Изд-во АН СССР, 1963.

Поступила в редакцию
10.4 1970 г.

Кафедра
молекулярной физики